液面燃焼時におけるボイルオーバー発生に対する界面活性剤の影響

日大生産工(院) 〇島根 大輔 日大生産工 山﨑 博司 日大生産工 野村 浩司 日大生産工 氏家 康成

1. はじめに

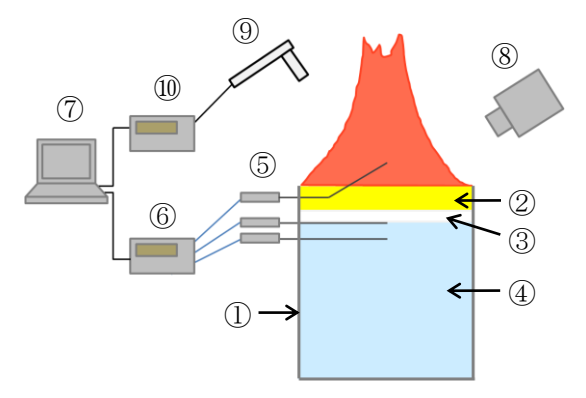
重質油流出事故の火災ややタンク火災など においては、燃焼する油成分層の下部に存在す る水成分が過熱され,ボイルオーバーと呼ばれ る突沸現象の発生が知られている.このボイル オーバーの発生により,上部の燃焼している重 質油層が飛散し、火災被害の拡大や二次災害発 生の要因になる可能性がある. ボイルーバー現 象については新井ら1), 伊藤ら2)によって検 討がなされている.しかしながら重質な混合油 においては乳化が容易であることや消化剤の 投入などによって,燃料下部にはエマルジョン 層が形成された場合の影響については検討さ れたものは見受けられない. エマルジョンの加 熱過程においては界面活性剤の曇点の影響や 相分離, 転相などが考えられるとともに, 過熱 に伴う沸騰開始条件も十分に把握されている とはいえないのが現状である.

本研究は、液面燃焼時の燃料層直下にエマルジョン層が存在した場合のボイルオーバー現象の発生過程、発生条件を明らかにすることにより、ボイルオーバー発生制御、液面燃焼制御および消火に寄与することを目的としたものである。本報告では、特にエマルジョン層が存在する場合のボイルオーバー発生過程の層内温度履歴、火炎温度および光エネルギーに関する測定結果について報告する。

2. 実験装置および方法

実験装置の概略図を図1に示す.実験装置は 実験容器部,計測系,可視化系で構成される.

実験容器は内径 90mm, 高さ 100mm, 厚さ 1mm のステンレス製円筒である. 測定系は温 度計測系,光パワー計測系で構成した.温度計 測はマルチチャンネルデータロガーとシース 熱電対を組み合わせて構成した.シース熱電対 は実験液槽側面より挿入し,円筒中心位置にお いて, 火炎温度, エマルジョン層温度, 水温を 測定した. 測定位置は, 水分層と燃料層の境界 面を基準 (h =0mm) としてそれぞれ h =20mm, 0mm, -5mm である. 光パワー測定系は, 光 パワーセンサ,パワーメータおよびパーソナル コンピュータで構成し, 定常燃焼時の波長分布 および履歴の計測を行った. 可視化にはビデオ カメラを用い,燃焼過程におけるエマルジョン 層の変化,ボイルオーバー発生位置の記録を行 った. 燃料成分には n-ヘキサデカンを用いる とともに、水分層には純水を用いた. 供試エマ



- ① Experimental Container
- ② Fuel Layer
- 3 Emulsion Layer
- 4 Water
- (5) Thermocouple
- ⑥ Data Logger
- 7 Personal Computer
- ® Video Camera
- Optical Power Sensor
- **10** Optical Power Meter

Fig.1 Schematics of Experimental Apparatus

Effect of Surfactant on Occurrences of Boilover Phenomena in Pool Burning

Daisuke SHIMANE, Hiroshi YAMASAKI, Hiroshi NOMURA and Yasushige UJIIE

ルジョンは純水, 燃料及び界面活性剤の体積割合を 45:45:10 ならびに 47.5:47.5:5 とし, 界面活性剤にはポリオキシエチレンアルキルエーテル (HLB値 13.3) およびソルビタンモノオレエート (HLB値 4.3) を用いた. マグネチックスターラで十分に攪拌して水中油滴形ならびに油中水滴形エマルジョンを作成した.

実験条件は室温であり、上部燃料層の初期厚さはエマルジョン層を含め 10mm で一定とするとともに、エマルジョン層厚さは 1mm とした. 実験では水分層 90mm とし、その上に燃料層を構成し、静置したのち、点火のため n-ヘキサンを表面に数滴滴下して小ブタン炎で点火して液面燃焼過程の観察を行った

3. 実験結果および考察

図 2 に、燃料層を n-ヘキサデカンのみとした 場合の温度履歴を示す. 観察結果よりボイルオ ーバーは 11 回確認され、ボイルオーバーによ り消炎に至った. 火炎温度は, 燃焼開始より上 昇し,約1300Kでほぼ一定の値を示している. その後、沸騰が開始した約 250s より低下を始 め,ボイルオーバーの発生とともに消炎に至っ た. これの温度低下の一部は燃料層の消費によ る火炎の縮小によるものと考えられる. 境界面 温度は上昇を続けるが、燃焼後期において一定 値を示した.一方で,境界より下部5mmの水 分層温度は上昇を続け、最終的に境界面温度と 一致する傾向にある. これらの結果は, 最終段 階においては沸騰などの気泡発生により水分 層上部においては攪拌効果が与えられ,形成さ れた温度成層が消滅していることを示唆する ものと考えられる.

図 3 に、燃料成分を n-ヘキサデカン、燃料層の下に界面活性剤をポリオキシエチレンアルキルエーテルとした水中油滴形エマルジョン層が 1mm 存在した場合の温度履歴を示す. (a)は界面活性剤の体積比率を 0.05 とした場合であり、(b)は体積比率を 0.1 とした場合の結果である. (a)において火炎温度の傾きはヘキ

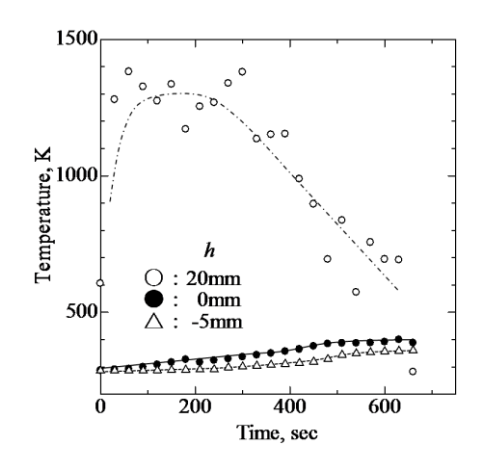
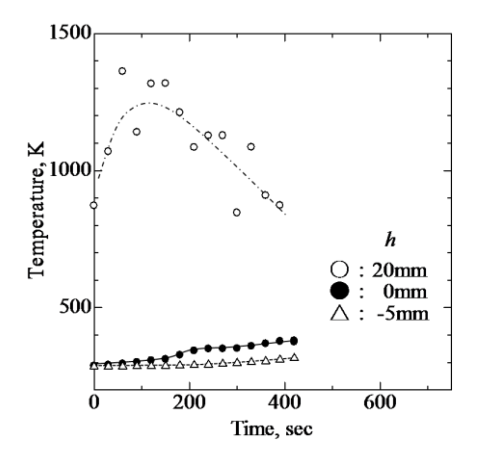
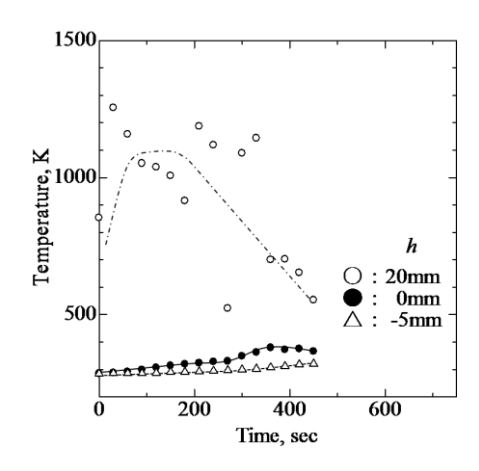


Fig.2 Time histories of temperature of pool frame, fuel-water boundary and water sublayer without emulstion sublyer.



(a) O/W emulsion with surfactant of 0.05



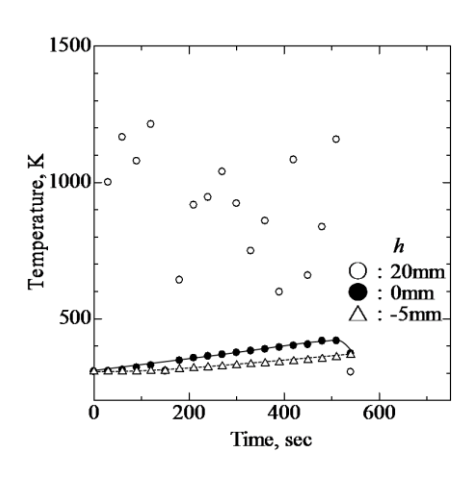
(b) O/W emulsion with surfactant of 0.1

Fig.3 Time histories of temperature of pool frame, fuel-water boundary and water with O/W emulsion sublayer.

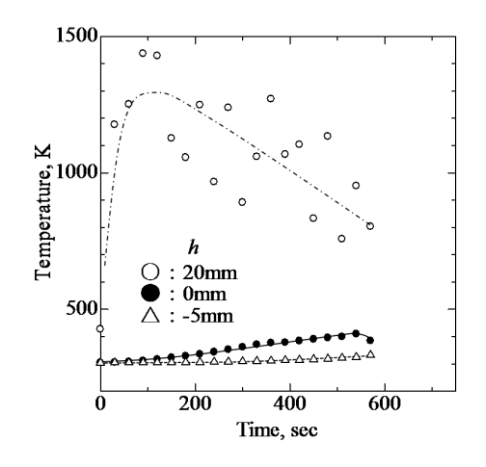
サデカンのみの場合と同じであるが,330sから微弱なボイルオーバーが発生しはじめ,約400sにおいて強いボイルオーバーにより消炎しており,消炎までの時間はエマルジョン層が

ない場合に比べ 200s ほど短くなった. またエマルジョン層は約 300s より分離を始め, 380s で完全に透明となった. 本実験で使用したポリオキシエチレンアルキルエーテルの曇点が約 340K であり, かつその温度領域において燃料層, 水分層の分離, 凝集を伴っている 3) ことから, そのエマルジョン層がその温度領域に達したことによる変化と考えられる. (b)の場合においても, (a)の場合と同様の経時変化を示しているが, 消炎までの時間は長くなった. またボイルオーバー発生回数も減少する傾向が見られた.

図 4 に燃料成分を n-ヘキサデカン, 燃料層 の下に界面活性剤をソルビタンモノオレエー トとした油中水滴形エマルジョン層が 1mm 存在した場合の温度履歴を示す. (a)は界面活 性剤の体積比率を 0.05 とした場合, (b)は体積 比率を 0.1 とした場合である. (a)において, 火炎温度は燃焼後期においても大きく低下し なかった. ボイルオーバーは消炎 30s 前まで全 く発生せず、またその後発生したボイルオーバ ーは非常に大きく,消炎を引き起こしたもので は燃料が約 1m 飛散した場合も見受けられた. これはエマルジョンが油中水滴型であること によるものだと考えられる. 水中油滴型では油 滴が水に分散しているためエマルジョン内の 水分層が上部の燃料層と接している面積が広 いと考えられる. よってボイルオーバーが発生 しやすく,消炎までの時間が短くなる傾向が見 られた.油中水滴型では水分層は油層に分散し た状態であるため、周囲の 100℃を超えた油層 により過熱現象が起きやすく, 結果ボイルオー バー発生の遅延と大規模化を促したと考えら れる. 境界面温度は消炎直前まで上昇を続けて おり,エマルジョン内の水滴が過熱状態である ことが予想できる. 消炎までの時間はエマルジ ョン層が無い場合よりも 120s ほど短くなった. (b)においてボイルオーバーはポリオキシエチ レンアルキルエーテルを用いた場合と同程度



(a) W/O emulsion with surfactant of 0.05



(b) W/O emulsion with surfactant of 0.1

Fig. 4 Time histories of temperature of pool frame, fuel-water boundary and water with W/O emulsion sublayer.

の回数発生し、火炎温度も時間とともに低下している.油中水滴型においても必ずボイルオーバーの抑制が起きるわけではなく、界面活性剤の割合により抑制の発生が起きるものと考えられる.消炎までの時間はエマルジョン層が無い場合と比べ90sほど短くなった.燃料がヘキサデカンの場合においては、いずれの型においてもエマルジョン層が存在することで消炎までの時間は短くなる.これはエマルジョン層が水分を含んでいるため、無い場合と比べ早期に水分層に熱が加わり、ボイルオーバーが発生しやすいためであると考えられる.

図 5 に燃料成分を n-ヘキサデカンのみとした場合の火炎から放出される光エネルギー量

の履歴を示す.各波長において放射エネルギーは火炎発生後に増加し,ほぼ一定の値を示したのち減少している.これらの経時変化は波長に関わらず,火炎温度とほぼ同じ傾向を示していることが確認できる.

図 6 に燃料成分を n-ヘキサデカン, 燃料層の下に界面活性剤の体積比率を 0.1 としたエマルジョン層が 1mm 存在した場合の火炎から放出される光エネルギー量の履歴を示す. (a)は界面活性剤をポリオキシエチレンアルキルエーテルとした場合, (b)はソルビタンモノオレエートとした場合である. (a), (b)ともに, 光エネルギーの経時変化は n-ヘキサデカンのみの場合とほぼ同じである. しかし(a)において, 消炎時の光エネルギーは n-ヘキサデカンのみの場合と比べ, 小さいことが分かる.

4. おわりに

液面燃焼時の燃料層直下にエマルジョン層が 存在した場合の火炎温度,境界面温度,水層温 度およびボイルオーバー発生頻度について以 下の知見を得た.

- (1)水中油滴型エマルジョンを介在させることでボイルオーバー発生頻度は上昇し,消炎までの時間は短くなる
- (2)油中水滴型エマルジョンではボイルオーバー発生を抑制し、大規模化させる場合がある.
- (3)液面燃焼において火炎温度は時間の経過 とともに低下し、境界面温度と水層温度は一致 する傾向にある
- (4)放射光エネルギーは火炎の温度変化とほぼ同じ経時変化を経るが、水中油滴型エマルジョン層を有する場合消炎時のエネルギーは低くなる.

参考文献

- (1)新井雅隆ほか2名,日本機械学会論文集 B編,57(537),1893-1898 (1991).
- (2)伊藤昭彦ほか2名,日本火災学会論文集, 54(1), 9-16 (2004).

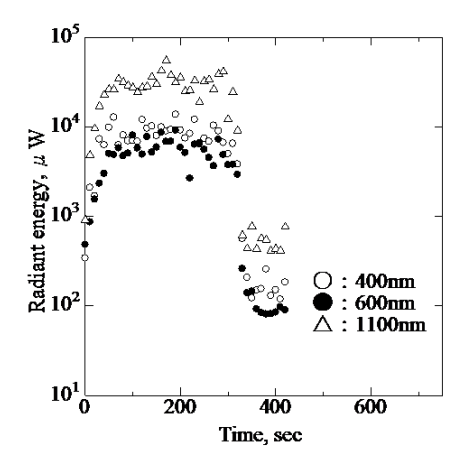
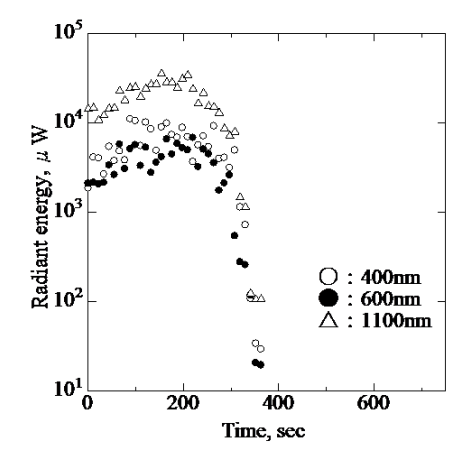
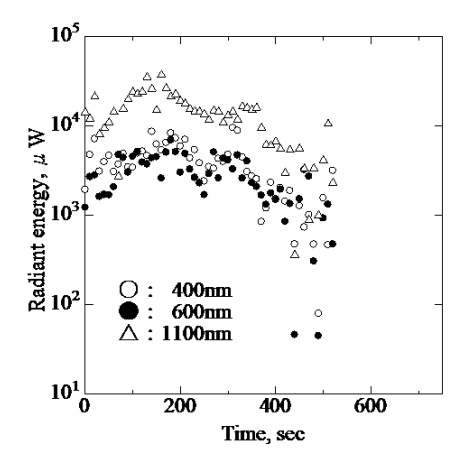


Fig.5 Time histories of radiant energy of pool frame without emulstion sublyer.



(a) O/W emulsion with surfactant of 0.1



(b) W/O emulsion with surfactant of 0.1

Fig.6 Time histories of radiant energy of pool frame, with emulsion sublayer.

(3) 山崎博司ほか 3名, Proc. 1st ASPAC, 603-606(1997).